

溶胶-凝胶法制备共掺杂负载型二氧化钛光催化剂

苗征，朱绒霞，赵建峰

(空军工程大学理学院,西安,710051)

摘要 以钛酸丁酯为 Ti 源,采用溶胶-凝胶法合成了“不同金属-N”共掺杂的 TiO_2 纳米粉体,比较了乙醇用量对酞酸四丁酯水解的影响,用紫外-可见光吸收光谱(UV-Vis)和 X 射线衍射(XRD)对掺杂型 TiO_2 粉体的光催化活性和尺寸进行了表征。结果表明:凝胶时间按钛酸四丁酯与无水乙醇体积比的增大依次增加;单一金属掺杂的光催化剂光活性较多种金属更强,相较于 Mn^{2+} , Cu^{2+} , Fe^{3+} , Al^{3+} , Ba^{2+} , Co^{2+} 与 Fe^{3+} , Co^{2+} 与 N 共掺杂 TiO_2 粉体可见光活性最强。

关键词 溶胶-凝胶法; TiO_2 粉体;共掺杂;光催化

DOI 10.3969/j.issn.1009-3516.2016.06.019

中图分类号 TN918.1 **文献标志码** A **文章编号** 1009-3516(2016)05-0104-05

Preparation on Photocatalysis Activities of Co-Doping TiO_2 by Sol-Gel Method

MIAO Zheng,ZHU Rongxia,ZHAO Jianfeng

(Science College, Air Force Engineering University, Xi'an 710051, China)

Abstract: Taking tetrabutyl titanate as Ti source, this paper synthesizes the 'different metal-N' codoped TiO_2 nano powder by sol-gel method, and compares the effects of alcohol' amount on phthalic acid ester hydrolysis. The photocatalytic activity and size of doped TiO_2 powder are characterized by ultraviolet-visible absorption spectroscopy (UV-Vis) and X-ray diffraction (XRD). The result shows that the gel time in turn increases with the increase of tetrabutyl titanate butyl and anhydrous ethanol volume ratio. The single metal doped light catalyst activity is stronger than that of various metals. Compared with Mn^{2+} , Cu^{2+} , Fe^{3+} , Al^{3+} , Ba^{2+} , CO^{2+} and Fe^{3+} , the CO^{2+} and N-Co doped TiO_2 powder is the most active under condition of visible-light.

Key words: sol-gel method; TiO_2 powder; co-doped; photocatalysis

甲醛(VOC)是一种挥发性有机物,具有强烈的毒副作用,现代科学研究表明:当室内含量为 0.1 mg/m^3 时就有异味和不适感;浓度再高可引起恶心、呕吐、气喘甚至肺气肿;当空气中达到 230 mg/m^3 时可当即导致死亡。目前,我国城市 $80\% \sim 94\%$ 新装修的房间内甲醛浓度超过国家标准,是国

家居室卫生标准的 $3 \sim 10$ 倍^[1]。当前应用于消除室内甲醛的方法有:物理吸附法,臭氧氧化法,金属氧化物法,光催化氧化法等^[2-5]。普通的物理化学法,是依靠封闭吸附或化学中和的原理来阻止有害气体的挥发,此类方法功能单一,使用范围有限,时效较短,一般在 1 周左右。而光催化氧化法由于其反应

收稿日期:2015-12-08

基金项目:国家自然科学基金(51575524)

作者简介:苗征(1986—),女,山西侯马人,硕士生,主要从事化学试剂的合成与分析研究.E-mail:54285541@qq.com

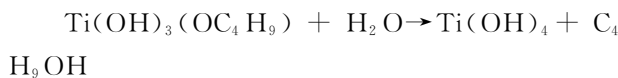
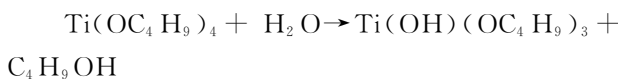
引用格式:苗征,朱绒霞,赵建峰.溶胶-凝胶法制备共掺杂负载型二氧化钛光催化剂[J].空军工程大学学报:自然科学版,2016,17(6):104-108. MIAO Zheng,ZHU Rongxia,ZHAO Jianfeng.Preparation on Photocatalysis Activities of Co-Doping TiO_2 by Sol-Gel Method[J].Journal of Air Force Engineering University:Natural Science Edition,2016,17(6):104-108.

条件温和、耗能低、二次污染少等优点成为现今研究的热点^[6]。

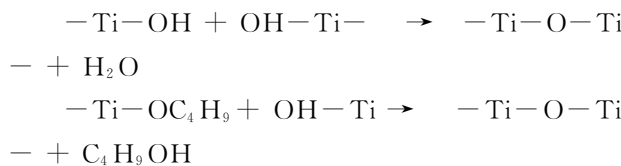
依靠一定波长的光源催化光催化剂反应形成分解薄膜,能对室内几乎所有的细菌、病毒和有机污染物起到强效分解作用,喷施1次,效果可持续5年以上。二氧化钛(TiO_2)以其无毒、耐腐蚀、化学性质稳定、光催化活性高及低成本成为迄今为止应用最广泛的半导体光催化剂^[7]。但是, TiO_2 可见光响应低,颗粒有大小,大的只有在紫外光照射下才具有催化性能^[8]而被激发,只有纳米级的才能在普通的光线被激发。此外,电子-空穴易复合、量子效率低等缺陷制约了 TiO_2 材料的实际应用^[9]。因此,研究光催化剂的一个重要方向就是调节起最大吸收波长到可见光区。为改善其催化性能,常采用掺杂手段来实现^[10-13]。将N和金属元素(主要是过渡金属和稀土金属)同时进行掺杂,可以保持电荷的平衡,提高催化剂的稳定性,使催化剂在紫外光和可见光下均具有较高的活性^[17-18]。虽然已有人对此进行研究,如La-N共掺杂 TiO_2 ,Fe-N共掺杂 TiO_2 ^[14],Ce⁴⁺-N共掺杂 TiO_2 ^[15]等,但还有待于进一步的研究,以选择合适的金属元素和最佳掺杂浓度与氮进行共同掺杂。本实验用多种金属离子分别与氮共掺杂二氧化钛,研究其可见光活性。并在活性炭表面上合成,利用活性炭为二氧化钛提供高浓度反应环境,抑制催化剂失活。结合物理吸附法与光催化氧化法,提高二氧化钛的光催化效率。

试验原理:钛醇盐的水解和缩聚反应。

水解:



缩聚:



2 实验

2.1 掺杂二氧化钛制备

步骤1 将40 ml钛酸四丁酯与20 ml无水乙醇混合,搅拌均匀得到淡黄色溶液A。

步骤2 另取20 ml无水乙醇,40 ml蒸馏水,

16 ml冰醋酸,混合后,用浓硝酸调节至pH≤3,搅拌均匀得到B液。

步骤3 在剧烈搅拌下将A液逐滴滴入B液中。滴加完毕后,继续搅拌30 min。

步骤4 加入适量活性炭粉末(质量分数为9%),继续搅拌1 h,然后加热至约40℃,同时不断摇晃至溶液变得粘稠,于室温下静置12 h。

步骤5 将溶液放入烘箱,在80℃下干燥24 h。取干燥后的固体研磨,放入马弗炉中于400℃下煅烧2.5 h。冷却至室温后备用。

步骤6 制备掺杂二氧化钛:在B液中加入尿素(20%的N/Ti配比)并按0.2%摩尔比分分别加入 Co^{2+} , Mn^{2+} , Cu^{2+} , Fe^{3+} , Al^{3+} , Ba^{2+} , Co^{2+} 与 Fe^{3+} , Co^{2+} 与 Cu^{2+} ,其它步骤同上。图1为实验中制备的A,B溶液示意图。

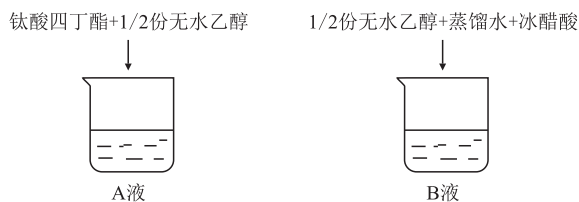


图1 A液与B液的配比

Fig.1 Different proportioning of A and B solvent

2.2 乙醇用量对钛酸四丁酯水解的影响

其他条件不变,改变乙醇用量,钛酸四丁酯与无水乙醇的体积比由1:2依次增加到1:5。实验结果表明:凝胶时间按钛酸四丁酯与无水乙醇体积比的增大依次增加。钛醇比为1:2和1:3时,A液还未全部加入B液中,溶液即逐渐变得粘稠至成为凝胶;钛醇比为1:4和1:5时,溶液都是在加热至40℃之后才开始凝胶。

3 样品的表征与分析

3.1 样品的UV-Vis漫反射吸收光谱

掺杂后, TiO_2 薄膜的光学性能产生了变化,在可见光区的吸收强度有不同程度的变化。利用日本岛津紫外可见分光光度计UV-3600对掺杂粉体进行表征,得到如下结果见图2~10。

图2、图3、图5中掺杂 Al^{3+} , Ba^{2+} 与 Fe^{3+} 后的粉体,在可见光区的吸光度始终低于未掺杂前。通过对比图10中 Co^{2+} , Mn^{2+} , Cu^{2+} 分别与N共掺杂 TiO_2/AC 的UV-Vis漫反射吸收光谱图,可看出 Co^{2+} 掺杂的二氧化钛可见光活性改善程度最高。图8、图9中,2种金属共同掺杂的光催化剂较二氧

化钛可见光吸收虽有增强,光活性不及单一金属掺杂的光催化剂。

图2、图3中,掺杂 Al^{3+} , Ba^{2+} 与 Fe^{3+} 后的粉体(实线部分),在可见光区的吸光度始终低于未掺杂前(虚线部分)。图4中, Cu^{2+} 与N共掺杂 TiO_2/AC 粉体,在350~370 nm区间的吸光度低于未掺杂前,370 nm后的吸光度高于未掺杂前。图5中掺杂 Al^{3+} , Ba^{2+} 与 Fe^{3+} 后的粉体,在可见光区的吸光度始终低于未掺杂前。图6、图7中, Mn^{2+} , Co^{2+} 分别与N掺杂的光催化剂,均是在一定区间内较二氧化钛可见光吸收有增强,另一区间有所减弱。图8、图9中,2种金属共同掺杂的光催化剂较二氧化钛可见光吸收虽有增强,光活性不及单一金属掺杂的光催化剂。图10中为 Co^{2+} , Mn^{2+} , Cu^{2+} 分别与N共掺杂 TiO_2/AC 的UV-Vis漫反射吸收光谱图,对比后得出, Co^{2+} 掺杂的二氧化钛可见光活性改善程度最高。

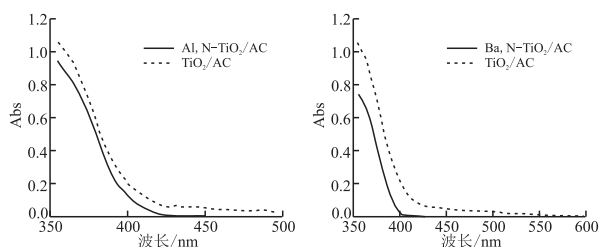


图2 Al^{3+} ,N- TiO_2/AC 的UV-Vis漫反射吸收光谱图

Fig.2 UV-Vis diffuse reflectance absorption spectroscopy of Al^{3+} ,N- TiO_2/AC

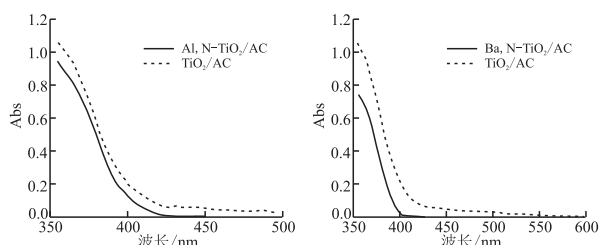


图3 Ba^{2+} ,N- TiO_2/AC 的UV-Vis漫反射吸收光谱图

Fig.3 UV-Vis diffuse reflectance absorption spectroscopy of Ba^{2+} ,N- TiO_2/AC

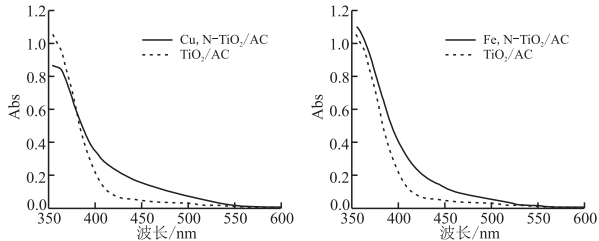


图4 Cu^{2+} ,N- TiO_2/AC 的UV-Vis漫反射吸收光谱图

Fig.4 UV-Vis diffuse reflectance absorption spectroscopy of Cu^{2+} ,N- TiO_2/AC

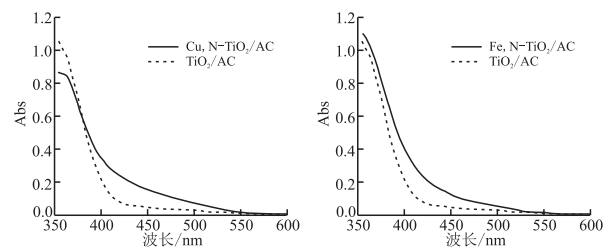


图5 Fe^{3+} ,N- TiO_2/AC 的UV-Vis漫反射吸收光谱图

Fig.5 UV-Vis diffuse reflectance absorption spectroscopy of Fe^{3+} ,N- TiO_2/AC

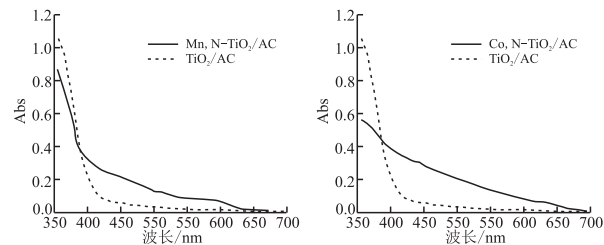


图6 Mn^{2+} ,N- TiO_2/AC 的UV-Vis漫反射吸收光谱图

Fig.6 UV-Vis diffuse reflectance absorption spectroscopy of Mn^{2+} ,N- TiO_2/AC

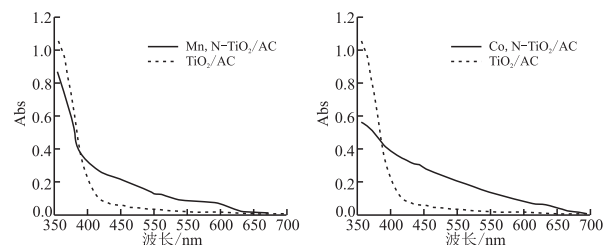


图7 Co^{2+} ,N- TiO_2/AC 的UV-Vis漫反射吸收光谱图

Fig.7 UV-Vis diffuse reflectance absorption spectroscopy of Co^{2+} ,N- TiO_2/AC

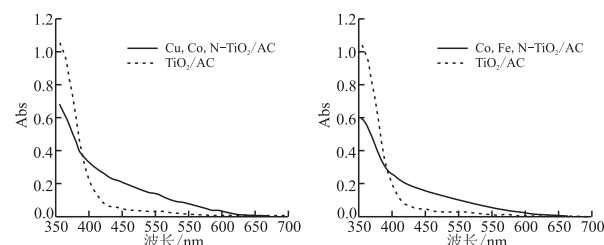


图8 Co^{2+} , Cu^{2+} ,N- TiO_2/AC 的UV-Vis漫反射吸收光谱图

Fig.8 UV-Vis diffuse reflectance absorption spectroscopy of Co^{2+} , Cu^{2+} ,N- TiO_2/AC

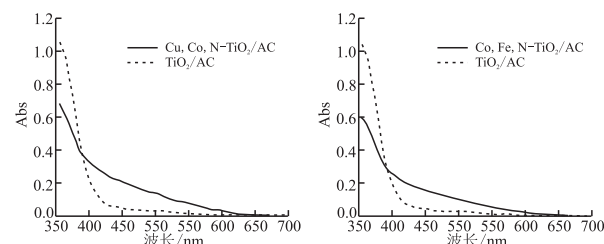


图9 Co^{2+} , Fe^{3+} ,N- TiO_2/AC 的UV-Vis漫反射吸收光谱图

Fig.9 UV-Vis diffuse reflectance absorption spectroscopy of Co^{2+} , Fe^{3+} ,N- TiO_2/AC

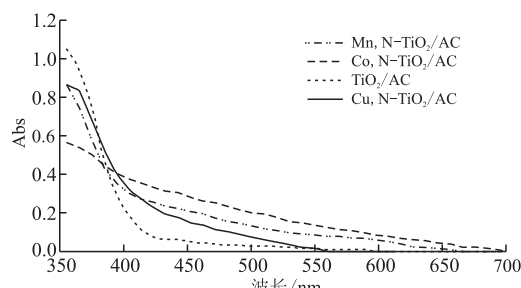


图 10 不同光催化剂的 UV-Vis 漫反射吸收光谱比较图

Fig.10 UV-Vis diffuse reflectance absorption spectroscopy of samples

3.2 样品的 XRD 表征

图 11 和图 12 是纯 TiO_2 粉体和 Co^{2+} -N 共掺杂 TiO_2 粉体的 XRD 图谱。由图可知, TiO_2 粉体在 $2\theta = 25.3^\circ, 37.8^\circ, 48.1^\circ, 54.1^\circ, 55.1^\circ, 62.8^\circ, 75.4^\circ$ 等出现衍射峰, 最大峰值出现在 1200 左右; 而 Co^{2+} -N 共掺杂 TiO_2 粉体虽有类似峰值分布, 最大峰值却出现在 1000 左右, 改变了二氧化钛的可见光活性。进一步分析表明, Co^{2+} 与 N 共掺杂 TiO_2 后未改变二氧化钛的晶型^[16]。

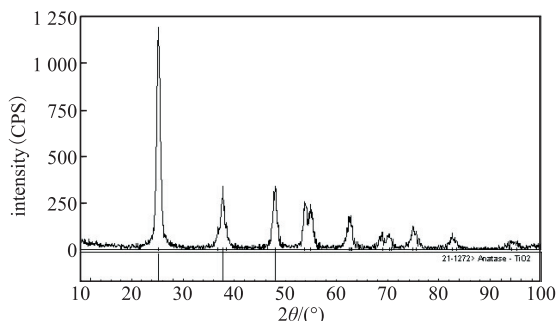
图 11 TiO_2 的 XRD 图谱

Fig.11 XRD patterns of TiO_2

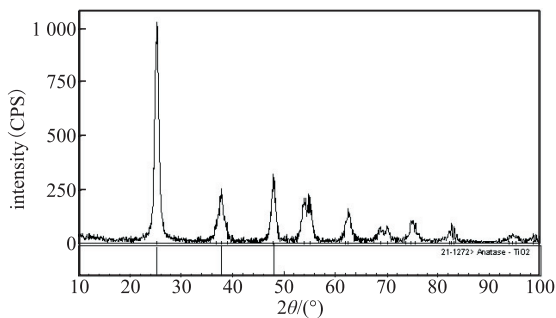
图 12 Co^{2+} , N-TiO₂/AC 的 XRD 图谱

Fig.12 XRD patterns of Co^{2+} , N-TiO₂/AC

4 结论

1) 凝胶时间按钛酸四丁酯与无水乙醇体积比的增大依次增加。当体积比为 1:4 时, 凝胶时间最符合试验要求。

2) 通过分析比较 UV-Vis 漫反射吸收光谱图可

知: 2 种金属共同掺杂的光催化剂较二氧化钛可见光吸收增强, 光活性不及单一金属掺杂的光催化剂。

3) 通过对 Co^{2+} , Mn^{2+} , Cu^{2+} 分别与 N 共掺杂 TiO_2 /AC 的 UV-Vis 漫反射吸收光谱图, 可看出, 3 种粉体在可见光区的最大吸收波长均有改善。其中, Co^{2+} 掺杂的二氧化钛可见光活性改善程度最高。这意味着, 通过掺杂, 改善了原 TiO_2 的催化性能, 实现了催化剂在紫外光和可见光下均具有较高的活性。

4) 通过 XRD 及 UV-Vis 漫反射的表征, 认为氮、钴掺入二氧化钛中, 并使其在可见光区域有了一定的吸收, 有效改变了二氧化钛的可见光活性。样品 XRD 衍射峰拟合对比说明, Co^{2+} 与 N 共掺杂 TiO_2 后未改变二氧化钛的晶型, 仍为纳米级。

参考文献(References):

- [1] 陈砾, 代文, 严宗诚, 等. 介质阻挡放点等离子体反应器中的甲醛降解[J]. 华南理工大学学报: 自然科学版, 2008, 36(12): 52-55.
- CHEN Li, DAI Wen, YAN Zongcheng, et al. On the Point of Degradation of Formaldehyde in the Plasma Reactor of Dielectric Barrier[J]. Journal of South China University of Technology: Natural Science Edition, 2008, 36 (12): 52-55. (in Chinese)
- [2] 田世爱, 于自强, 张宏. 室内甲醛污染状况调查及预防措施[J]. 洁净与空调技术, 2005(1): 41-44.
- TIAN Shuai, YU Ziqiang, ZHANG Hong. Investigation on Self-Reliance, Indoor Formaldehyde Pollution and Preventive Measures of [J]. Cleaning and Air Conditioning Technology, 2005(1): 41-44.
- [3] ZHANG P Y, LLIANG F Y, YU G, et al. A Comparative Study on Decomposition of Gaseous Toluene by O_3 /UV, TiO_2 /UV, and O_3 / TiO_2 /UV[J]. Journal of Photochemistry and Photobiology A: Chemistry, 2003, 156(1/2/3): 184-194.
- [4] YU C H, WU C H, HO T H, et al. Decolorization of C. I. Reactive Black 5 in UV/TiO₂, UV/Oxidant, and UV/TiO₂/Oxidant Systems: A Comparative Study[J]. Chemical Engineering Journal, 2010, 158 (3): 578-583.
- [5] 余新萍, 李文奇, 李玉娟, 等. P25 对 TiO_2 镀膜光催化活性的影响[J]. 南水北调与水利科技, 2010, 8(2): 80-82.
- YU Xinpeng, LI Wenqi, LI Yujuan, et al. Effect of P25 on the Photocatalytic Activity of TiO_2 Coating [J]. Diversion and Water Conservancy Science and Technology, 2010, 8 (2): 80-82. (in Chinese)
- [6] 桥本和仁, 藤岛昭. 图解光催化技术大全[M]. 邱建荣, 朱从善, 译. 北京: 科学出版社, 2007.

- HASHIMOTO KAZUHITO, HUJISHIMA AKIRA. Technology Book of Graphic Photocatalytic[M]. QIU Jianrong, ZHU Congshan, Translated. Beijing: Science Press, 2007. (in Japanese)
- [7] KRALCHEVSKA R, MILANOVA M, HRISTOV D, et al. Syntheses, Characterization and Photocatalytic Activity of Neodymium, Nitrogen and Neodymium-Nitrogen Doped TiO_2 [J]. Materials Research Bulletin, 2012, 47(9):2165-2177.
- [8] BELESSI V, LAMBROPOULOU D, KONSTANTINOU L, et al. Structure and Photocatalytic Performance of TiO_2 /Clay Nanocomposites for the Degradation of Dimethachlor[J]. Applied Catalysis B Environmental, 2007, 73(3-4):292-299.
- [9] BAIJU K V, PERIYAT P, SHAJESH P, et al. Mesoporous Gadolinium Doped Titania Photocatalyst Through an Aqueous Sol-Gel Method[J]. Journal of Alloys and Compounds, 2010, 505(1):194-200.
- [10] 田琳琳, 姚兰芳, 许瑞清, 等. 钇铁共掺杂纳米 TiO_2 复合薄膜的制备及其光催化性能[J]. 稀有金属材料与工程, 2012, 40(s3):710-715.
TIAN Linlin, YAO Lanfang, CHEN Yuping, et al. Preparation and Photocatalytic Properties of Bi^{3+} and Fe^{3+} Co-Doped TiO_2 Composite Nano-Films [J]. Journal of synthetic Crystals, 2011, 40 (3); 710-715. (in Chinese)
- [11] YU Jiaguo, YUE Lin, LIU Shengwei, et al. HydrothermalPreparation and Phtotcatalytic Activity of Mesoporous Au- TiO_2 Nanocomposite Microspheres[J]. Journal of Colloid and Interface Science, 2009, 334 (1):58-64.
- [12] 马艳菊, 郁昂. 纳米二氧化钛的毒性研究进展[J]. 环境科学与管理, 2009, 34(8):33-37.
MA Yanju, YU Ang. The Toxicity of Nano Titanium Dioxide [J]. Advances in Environmental Science and Management, 2009, 34 (8): 33-37. (in Chinese)
- [13] XIONG Z, MA J, NG W J, et al. Silver-Modified Mesoporous TiO_2 Photocatalyst for Water Purification[J]. Water Research, 2011, 45(5):2095-2103.
- [14] 周娟, 王博, 张新磊, 等. $\text{Fe}^{3+}/\text{La}^{3+}$ 共掺杂纳米 TiO_2 制备及其性能研究[J]. 河南师范大学学报:自然科学版, 2012, 40(1):89-92.
ZHOU Juan, WANG Bo, ZHANG Xinlei, et al. Preparation of $\text{Fe}^{3+}/\text{La}^{3+}$ Co-Doped Nano TiO_2 [J]. Journal of Henan Normal University: Natural Science Edition, 2012, 40 (1): 89-92. (in Chinese)
- [15] 张璐, 谢键, 李国强, 等. 掺杂 Ce^{4+} 对溶胶-凝胶法制备二氧化钛薄膜的结构和光催化特性的影响[J]. 半导体光电, 2013, 34(1):98-102.
ZHANG Lu, XIE Jian, LI Guoqiang, et al. [J]. Effect of Ce^{4+} Doped on Structural and Photocatalytic Properties of Sol-Gel Prepared Titanium Dioxide Thin-Films [J]. Semiconductor Optoelectronics, 2013, 34 (1): 98-102. (in Chinese)
- [16] 郭立新, 王九思, 文卓琼, 等. 稀土元素掺杂纳米 TiO_2 材料的应用[J]. 广州化工, 2010, 38(1):36-37.
GUO Lixin, WANG Jiusi, WEN Zhuoqiong, et al. Application of Rare Earth Doped TiO_2 Nano Materials [J]. Guangzhou Chemical Industry, 2010, 38 (1): 36-37. (in Chinese)
- [17] KARTHIK K, KESAVA P S, SURESH K K, et al. Influence of Dopant Level on Structural, Optical and Magnetic Properties of Co-Doped Anatase TiO_2 Nanoparticles[J]. Applied Surface Science, 2010, 256: 4757-4760.
- [18] 袁春华, 谢英娜. 钴掺杂二氧化钛催化剂制备及光催化活性[J]. 无机盐工业, 2011, 43(11): 31-33.
YUAN Chunhua, XIE Yingna. Preparation of Cobalt-Doped Titania Photocatalysts and Photocatalytic Acitivity thereof [J]. Inorganic Salt Industry, 2011, 43 (11): 31-33. (in Chinese)

(编辑:徐楠楠)